



个人资料

个人概况

研究方向

研究成果

社会兼职

教学经历

荣誉称号



薄方 教授

招生专业：光学

电话：

邮箱：bofang@nankai.edu.cn

办公地点：三教309

个人资料



1665 访问

性别：男

职称：教授

部门：物理学院

电子邮箱：bofang@nankai.edu.cn

联系电话：

办公地址：三教309

通讯地址：卫津路94号南开大学三教309

教育经历

2002—2007年，南开大学，凝聚态物理专业，理学博士；

1998—2002年，南开大学，应用光学和经济学专业，理学和经济学学士；

工作经历

2017-今，南开大学物理科学学院，副院长；

2015-今，南开大学泰达应用物理研究院，教授；

2013-2014年，美国圣路易斯华盛顿大学，访问学者；

2009-2015年，南开大学泰达应用物理学院，副教授；

2007-2009年，南开大学泰达应用物理学院，讲师。



南開大學
Nankai University

物理科學學院

天津市卫津路94号 [300071]

南开大学物理学院版权所有

津教备0061号 津ICP备12003308号-1



南开物理

NKPhysics



个人资料

个人概况

研究方向

研究成果

社会兼职

教学经历

荣誉称号



薄方 教授

招生专业：光学

电话：

邮箱：bofang@nankai.edu.cn

办公地点：三教309

个人简介



1665 访问

薄方，南开大学，教授，物理科学学院副院长。2002年，南开大学，理学和经济学学士；2007年，南开大学，理学博士。2013年至2014年，美国圣路易斯华盛顿大学，访问学者。

近期主要从事铌酸锂微纳光子学研究，在片上光源，耦合、传输控制、非线性光学器件研究方面取得系列成果。实现了高品质因子二氧化硅-铌酸锂复合微腔，单晶、多晶、周期极化、稀土离子掺杂铌酸锂微腔的批量制备。对铌酸锂微腔共振波长的主动调控，热光效应，倍频、和频等非线性光学效应开展了系统研究。实现片上微盘、微环腔激光器。

迄今为止，在Phys. Rev. Lett.、Adv. Mater.等杂志上发表论文60余篇，SCI引用1100余次，h-index: 21。与他人合著英文专著章节一章。主持重大项目课题2项，国家自然科学基金项目4项，其他项目5项；参与国家重大科学研究计划、国家自然科学基金重点项目等十余项科研项目。

每年招收博士研究生2名、硕士研究生2-3名。欢迎对集成（微纳）光电子学器件及其应用感兴趣，拟从事微纳光学、非线性光学、激光物理、量子光学等方面研究的同学联系报考！





薄方 教授

招生专业：光学

电话：

邮箱：bofang@nankai.edu.cn

办公地点：三教309



1665 访问

研究方向

近期主要从事铌酸锂微纳光子学相关的研究。每年**招收博士研究生2名、硕士研究生2-3名**。欢迎对集成（微纳）光电子学器件设计、加工、测试和应用相关工作感兴趣，拟从事微纳光学、非线性光学、激光物理、量子光学等方面研究的同学联系报考！

科研项目：

- [7] 92050111, 掺镱LNOI微环腔光频率梳研究, 国家自然科学基金重大研究计划项目培育项目, 2021.01-2023.12, 主持
- [6] 2019YFA0705003, 铌酸锂薄膜光子结构中的非线性效应与频率梳应用, 国家重点研发计划项目课题, 2019.12-2024.11, 主持
- [5] 11734009, 铌酸锂晶体微腔中的非线性过程与调控研究, 国家自然科学基金重点项目, 2018.01-2022.12, 参与 (南开部分负责人)
- [4] 11674181, 基于铌酸锂微盘腔的窄带宽可调谐分布式单光子源, 国家自然科学基金面上项目, 2017.01-2020.12, 主持
- [3] 11374165, 微米尺寸铌酸锂晶体回音壁模式微腔的制备和光学非线性增强研究, 国家自然科学基金面上项目, 2014.01-2017.12, 主持
- [2] 10904077, 利用法珀腔共振效应提高有机材料中慢光的相对延迟, 国家自然科学基金青年项目, 2010.01-2012.12, 主持
- [1] 200800551034, 动态和静态光栅中光脉冲形变的抑制, 教育部新教师基金项目, 2009.01-2011.12, 主持

代表性工作：

[5] 与孔勇发老师课题组合作, 从晶体生长开始, 制备铒离子掺杂LNOI微纳光学器件。基于铒离子掺杂LNOI平台实现了微盘腔激光器 (*Sci. China-Phys. Mech. & Astron.*, 64(3), 234263 (2021))、微环腔激光器 (*Opt. Lett.*, 46(13), 3275 (2021))、光波导放大器 (*Chin. Opt. Lett.*, 19(6), 60008 (2021)) 和基于耦合微腔光学分子的单模激光器 (*Sci. China-Phys. Mech. & Astron.*, 64(9), 294216 (2021))。

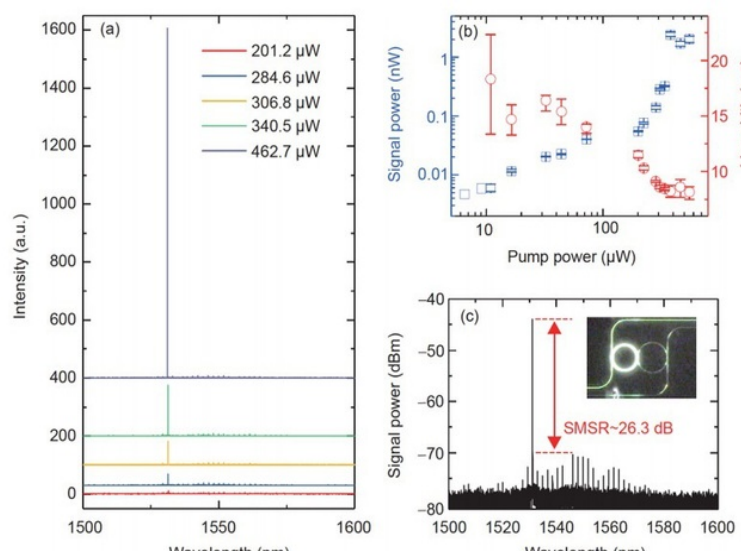


图5 LNOI单模激光器性能测试结果。

[4] 利用粒子群优化算法，设计高效率（89%/coupler）铌酸锂薄膜光栅耦合器。并利用电子束光刻是反应离子束刻蚀实现制备，TE (TM) 模式耦合效率达到72%/coupler和62%/coupler，上述指标均为铌酸锂薄膜光栅耦合器效率最高值（Opt. Lett., 45, 6651 (2020)）。

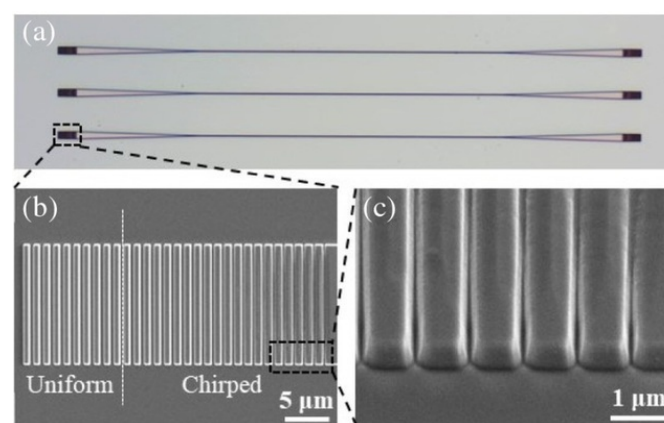


图4. LNOI光栅耦合显微图片。

[3] 利用光刻、刻蚀、化学机械抛光和基于原子力显微镜的畴极化技术，我们成功实现了品质因子 $1e5$ 量级，单周期、双周期等周期极化铌酸锂微盘腔的制备(Photon. Res., 8, 311 (2020))，在其中实现铌酸锂最大二阶非线性系数 d_{33} 的使用和倍频、三倍频、四倍频等非线性过程。

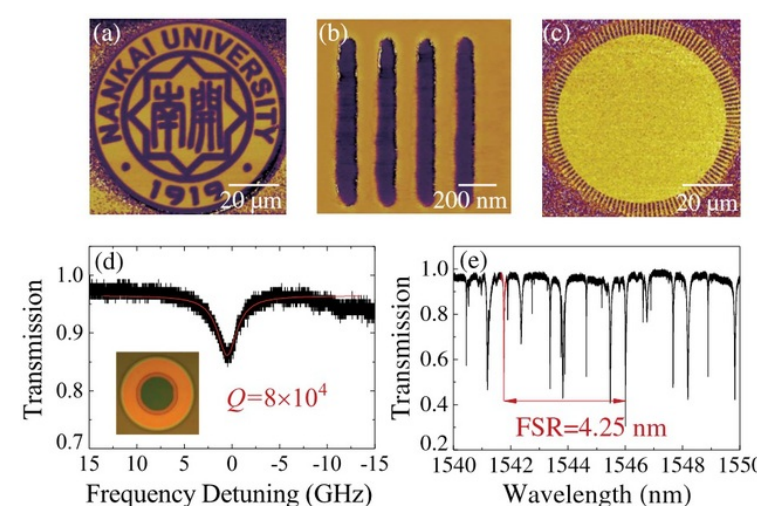


图3. 周期极化铌酸锂微腔的 (a-c) 显微镜图像和 (d, e) 透射谱。

[2] 利用激光脉冲沉积技术在二氧化硅盘形微腔上镀铌酸锂薄膜的办法，我们在无需后处理的情况下成功实现了 $1e5$ 品质因子铌酸锂/二氧化硅复合微盘腔的制备(Adv. Mater. 27, 8075 (2015))，该工作提出了一种全新的从下到上的铌酸锂微腔制备方案。

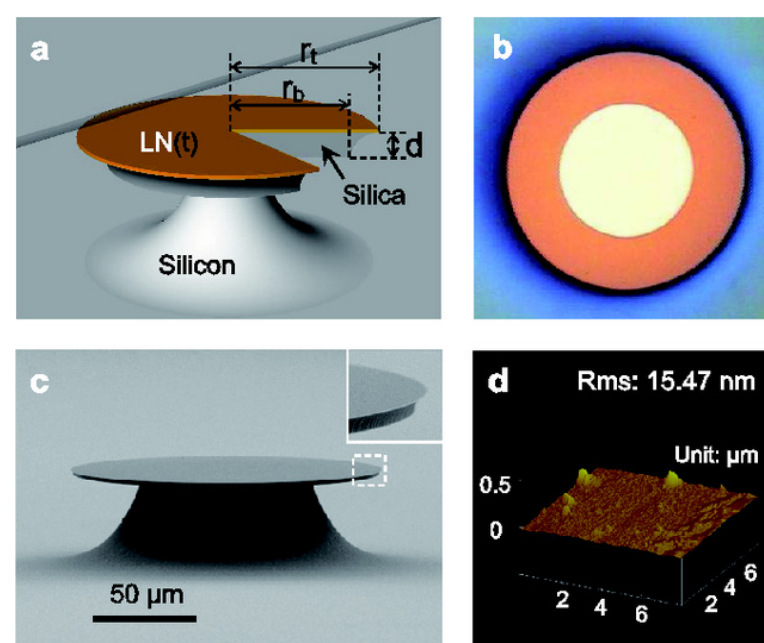


图3. 铌酸锂二氧化硅复合腔的 (a) 结构示意图、(b) 光学显微镜图像、(c) 扫描电子显微镜图像和 (d) 原子力显微镜图片。

[1] 在国际上首次实现了 $1e6$ 以上品质因子的位于晶片上的铌酸锂微盘腔的批量制备，利用电光效应实现了微腔共振波长的主动调控(Opt. Express 23, 23072 (2015))；系统研究了单晶铌酸锂微盘腔内的热光效应，观察并解释了强光泵浦情况下，微腔透射谱的振荡效应(Opt. Express, 24, 21869 (2016))。

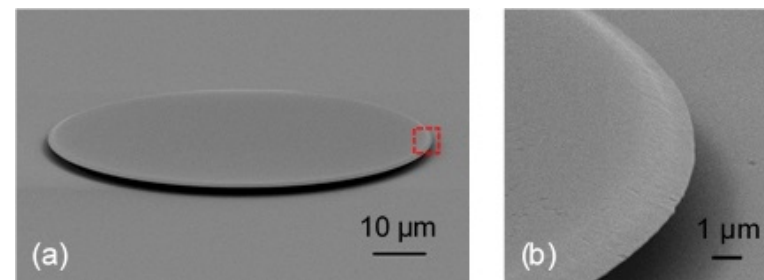


图1. 单晶铌酸锂微盘腔的 (a) 扫描电子显微镜图像与 (b) 其边缘的放大图像。



南开大学 物理科学学院
Nankai University

天津市卫津路94号 [300071]
南开大学物理学院版权所有
津教备0061号 津ICP备12003308号-1



南开物理

NKPhysics



薄方 教授

招生专业：光学

电话：

邮箱：bofang@nankai.edu.cn

办公地点：三教309



1665 访问

研究成果

2022年

- [64] X. Wu, L. Zhang, Z. Hao, R. Zhang, R. Ma, F. Bo*, G. Zhang*, and J. Xu*, Broadband second-harmonic generation in step-chirped periodically poled lithium niobate waveguides, *Opt. Lett.* 47, 1574-1577 (2022).
- [63] Q. Luo#, C. Yang#, Z. Hao, R. Zhang, R. Ma, D. Zheng, H. Liu, F. Gao, X. Yu, F. Bo*, Y. Kong*, G. Zhang*, J. Xu*, Integrated ytterbium-doped lithium niobate microring lasers, *Opt. Lett.*, 47(6), 1427-1430 (2022).
- [62] Q. Luo, C. Yang, Z. Hao, R. Zhang, R. Ma, D. Zheng, H. Liu, X. Yu, F. Gao, F. Bo*, Y. Kong*, G. Zhang*, J. Xu*, On-chip ytterbium-doped lithium niobate microdisk lasers with high conversion efficiency, *Opt. Lett.*, 47, 854-857 (2022).
- [61] A. Gao#, C. Yang#, L. Chen#, R. Zhang, Q. Luo, W. Wang, Q. Cao, Z. Hao, F. Bo*, G. Zhang*, J. Xu*, Directional emission in X-cut lithium niobate microresonators without chaos dynamics, *Photon. Res.*, 10(2), 401 (2022).

2021年

- [60] R. Gao, H. Zhang, F. Bo, W. Fang, Z. Hao, N. Yao, J. Lin*, J. Guan, L. Deng, M. Wang, L. Qiao, Y. Cheng*, Broadband highly efficient nonlinear optical processes in on-chip integrated lithium niobate microdisk resonators of Q-factor above 10^8 , *New J. Phys.*, 23, 123027 (2021).
- [59] R. Zhang, C. Yang, Z. Hao, D. Jia, Q. Luo, D. Zheng, H. Liu, X. Yu, F. Gao, F. Bo*, Y. Kong*, G. Zhang*, and J. Xu*, Integrated lithium niobate single-mode lasers by the Vernier effect. *Sci. China-Phys. Mech. & Astron.*, 64(9), 294216 (2021).
- [58] Q. Luo#, C. Yang#, R. Zhang, Z. Hao, D. Zheng, H. Liu, X. Yu, F. Gao, F. Bo*, Y. Kong*, G. Zhang*, J. Xu*, On-chip erbium doped lithium niobate microring lasers. *Opt. Lett.*, 46(13), 3275 (2021).
- [57] Q. Luo, C. Yang, Z. Hao, R. Zhang, D. Zheng, F. Bo*, Y. Kong*, G. Zhang*, J. Xu*, On-chip erbium-doped lithium niobate waveguide amplifiers. *Chin. Opt. Lett.*, 19(6), 60008 (2021). (*Invited*)
- [56] Q. Luo, Z. Hao, C. Yang, R. Zhang, D. Zheng, S. Liu, H. Liu, F. Bo*, Y. Kong*, G. Zhang*, J. Xu*, Microdisk lasers on an erbium-doped lithium-niobite chip, *Sci. China-Phys. Mech. & Astron.*, 64(3), 234263 (2021). (*Editors' Focus*)

2020年

[55] S. Kang#, R. Zhang#, Z. Hao, D. Jia, F. Gao, F. Bo*, G. Zhang*, J. Xu*, High-efficiency chirped grating couplers on lithium niobate on insulator, Opt. Lett., 45(24), 6651-6654 (2020) . (Editors' Pick)

[54] J. Lin, F. Bo*, Y. Cheng*, J. Xu*, Advances in on-chip photonic devices based on lithium niobate on insulator, Photon. Res., 8(12) 1910-1936 (2020).

[53] X. Gao, L. Yang, H. Lin, L. Zhang, J. Li, F. Bo, Z. Wang, L. Lu*, Dirac-vortex topological cavities, Nat. Nanotechnol., 15, 1012-1018 (2020).

[52] L. Zhang, Z. Hao, Q. Luo, A. Gao, R. Zhang, C. Yang, F. Gao, F. Bo*, G. Zhang*, J. Xu*, Dual-periodically poled lithium niobate microcavities supporting multiple coupled parametric processes, Opt. Lett., 45 (12), 3353-3356 (2020).

[51] J. Zhu, H. Liu*, F. Bo*, C. Tao, G. Zhang*, J. Xu*, Intuitive model of exceptional points in an optical whispering-gallery microcavity perturbed by nanoparticles, Phys. Rev. A, 101 (5), 053842 (2020).

[50] X. Gao, L. Yang, F. Bo*, J. Li*, G. Zhang, J. Xu, Vector beams in planar photonic crystal cavities with rotating air holes, Opt. Lett., 45(6), 1587-1590 (2020).

[49] Z. Hao, L. Zhang, W. Mao, A. Gao, X. Gao, F. Gao, F. Bo*, G. Zhang*, J. Xu*, Second-harmonic generation using d_{33} in periodically poled lithium niobate microdisk resonators, Photon. Res., 8, 311-317 (2020).

[48] Y. Kong*, F. Bo, W. Wang, D. Zheng, H. Liu, G. Zhang, R. Rupp, and J. Xu*, Recent Progress in Lithium Niobate: Optical Damage, Defect Simulation, and On-Chip Devices, Adv. Mater. 32 (3), 1806452 (2020).

[47] Y. Jiao, Z. Shao, S. Li, X. Wang, F. Bo, J. Xu, G. Zhang*, Improvement on Thermal Stability of Nano-Domains in Lithium Niobate Thin Films, Crystals, 10, 74 (2020).

[46] J. Yang, C. Qian, X. Xie, K. Peng, S. Wu, F. Song, S. Sun, J. Dang, Y. Yu, S. Shi, J. He, M. Steer, I. Thayne, B. Li, F. Bo, Y. Xiao, Z. Zuo, K. Jin, C. Gu, X. Xu*, Diabolical points in coupled active cavities with quantum emitters, Light-Sci. Appl., 9, 8 (2020).

2019年

[45] L. Zhang#, D. Zheng#, W. Li, F. Bo*, F. Gao, Y. Kong*, G. Zhang*, J. Xu*, Microdisk resonators with lithium-niobate film on silicon substrate, Opt. Express, 27, 33662-33669 (2019).

[44] J. Lin#, N. Yao#, Z. Hao, J. Zhang, W. Mao, M. Wang, W. Chu, R. Wu, Z. Fang, L. Qiao, W. Fang*, F. Bo*, and Y. Cheng*, Broadband Quasi-Phase-Matched Harmonic Generation in an On-Chip Monocrystalline Lithium Niobate Microdisk Resonator, Phys. Rev. Lett. 122, 173903 (2019).

[43] P. Chang, B. Cao, F. Gao*, L. Huang, W. Zhang, F. Bo, X. Yu, G. Zhang, J. Xu*, Enhance stable coupling region of a high-Q WGM up to micrometer, Appl. Phys. Lett., 115, 4 (2019).

[42] X. Li, P. Chang, L. Huang, W. Zhang, F. Gao*, F. Bo, G. Zhang, J. Xu, Feasibility of quasicritical coupling based on LP modes and its application as a filter with tunable bandwidth and stable insertion loss, Opt. Express, 27, 23610-23619 (2019).

[41] Y. Jiao, L. Xu, B. Han, F. Bo, J. Xu, G. Zhang*, Self-focusing and self-bending of surface plasmons in longitudinally modulated metasurfaces, Opt. Commun., 450, 136-140 (2019).

[40] Q. Fu, X. Wang*, F. Liu*, Y. Dong, Z. Liu, S. Zheng, A. Chaturvedi, J. Zhou, P. Hu*, Z. Zhu, F. Bo, Y. Long, Z. Liu*, Ultrathin Ruddlesden–Popper Perovskite Heterojunction for Sensitive Photodetection, Small, 15, 1902890 (2019).

[39] H. Chen, L. Wu, F. Bo, J. Jian, L. Wu*, H. Zhang*, L. Zheng*, Y. Kong, Y. Zhang, J. Xu, Coexistence of self-reduction from Mn^{4+} to Mn^{2+} and elastico-mechano luminescence in diphase $KZn(PO_3)_3: Mn^{2+}$, J. Mater. Chem. C, 7, 7096-7103 (2019).

2018年

- [38] P. Chang, X. Li, L. Huang, F. Gao*, W. Zhang, F. Bo, G. Zhang and J. Xu*, Fast light in the generation configuration of stimulated Brillouin scattering based on high-Q micro-cavities, Opt. Express, 26(12), 15377-15383 (2018).
- [37] L. Wang, C. Wang, J. Wang, F. Bo*, M. Zhang, Q. Gong, M. Loncar*, Y. Xiao*, High-Q chaotic lithium niobate microdisk cavity, Opt. Lett., 43(12), 2917-2920 (2018).
- [36] W. Mao, W. Deng, F. Bo*, F. Gao, G. Zhang*, J. Xu*, Upper Temperature Limit and Multi-channel Effects in Spherical Lithium-niobate Optical Parametric Oscillators, Opt. Express, 26(12), 15268-15275 (2018).
- [35] Z. Hao, L. Zhang, A. Gao, W. Mao, X. Lyu, F. Bo*, F. Gao, G. Zhang*, J. Xu*, Periodically poled lithium niobate whispering gallery mode microcavities on a chip, Sci. China-Phys. Mech. Astron., 61, 114211 (2018).

2017年

- [34] Z. Hao, J. Wang, S. Ma, W. Mao, F. Bo*, F. Gao, G. Zhang, and J. Xu, Sum-frequency generation in on-chip lithium niobate microdisk resonators, Photonics Res. 5, 623-628 (2017).
- [33] X. Wang, B. Zhu, Y. Dong, S. Wang, Z. Zhu, F. Bo, and X. Li*, Generation of equilateral-polygon-like flat-top focus by tightly focusing radially polarized beams superposed with off-axis vortex arrays, Opt. Express 25, 26844-26852 (2017).
- [32] F. Bo*, S. K. Özdemir*, F. Monifi, J. Zhang, G. Zhang, J. Xu, and L. Yang*, Controllable oscillatory lateral coupling in a waveguide-microdisk-resonator system, Sci. Rep. 7, 8045 (2017).
- [31] Y. Sun, F. Song, C. Qian, K. Peng, S. Sun, Y. Zhao, Z. Bai, J. Tang, S. Wu, H. Ali, F. Bo, H. Zhong, K. Jin, and X. Xu*, High-Q Microcavity Enhanced Optical Properties of CuInS₂/ZnS Colloidal Quantum Dots toward Non-Photodegradation, ACS Photon. 4, 369-377 (2017).
- [30] X. Gao, X. Li*, Z. Hao, F. Bo*, C. Hu, J. Wang, Z. Liu, Z.-Y. Li, G. Zhang and J. Xu, Vertical microgoblet resonator with high sensitivity fabricated by direct laser writing on a Si substrate. J. Appl. Phys. 121(6), 064502 (2017).

2016年

- [29] J. Wang, B. Zhu, Z. Hao, F. Bo*, X. Wang*, F. Gao, Y. Li, G. Zhang*, and J. Xu, Thermo-optic effects in on-chip lithium niobate microdisk resonators. Opt. Express 24(19), 21869-21879 (2016).
- [28] F. Monifi, J. Zhang*, S. K. Özdemir*, B. Peng, Y.-x. Liu, F. Bo, F. Nori, and L. Yang*, Optomechanically induced stochastic resonance and chaos transfer between optical fields, Nat. Photon. 10, 399-405 (2016).
- [27] L. Huang, J. Wang, W. Peng, W. Zhang, F. Bo, X. Yu, F. Gao*, P. Chang, X. Song, G. Zhang, and J. Xu, Mode conversion in a tapered fiber via a whispering gallery mode resonator and its application as add/drop filter, Opt. Lett. 41, 638-641 (2016).
- [26] L. Huang, X. Song, P. Chang, W. Peng, W. Zhang, F. Gao*, F. Bo, G. Zhang, and J. Xu, All-fiber tunable laser based on an acousto-optic tunable filter and a tapered fiber, Opt. Express 24, 7449-7455 (2016).
- [25] L. Huang, P. Chang, X. Song, W. Peng, W. Zhang, F. Gao*, F. Bo, G. Zhang, and J. Xu, Tunable in-fiber Mach-Zehnder interferometer driven by unique acoustic transducer and its application in tunable multi-wavelength laser, Opt. Express 24, 2406-2412 (2016).

2015年

- [24] F. Bo, J. Wang, J. Cui, S. K. Ozdemir*, Y. Kong, G. Zhang*, J. Xu, and L. Yang*, Lithium-Niobate-Silica Hybrid Whispering-Gallery-Mode Resonators, Adv. Mater. 27, 8075-8081 (2015).
- [23] F. Bo*, S. K. Özdemir*, B. Peng, J. Wang, G. Zhang, J. Xu, and L. Yang*, Vertically coupled microresonators and oscillatory mode splitting in photonic molecules, Opt. Express 23, 30793-

30800 (2015).

- [22] F. Bo*, X. Wang, Y. Li, F. Gao, G. Zhang*, and J. Xu, Mode characteristics of silver-coated inverted-wedge silica microdisks, *Sci. China-Phys. Mech. Astron.* 58, 1-5 (2015).
- [21] L. Xu, Y. Dou, F. Bo, J. Xu, and G. Zhang*, Two-photon correlation and photon transport in disordered passive parity-time-symmetric lattices, *Phys. Rev. A* 91, 023817 (2015).
- [20] J. Wang, F. Bo*, S. Wan, W. Li, F. Gao, J. Li, G. Zhang, and J. Xu, High-Q lithium niobate microdisk resonators on a chip for efficient electro-optic modulation, *Opt. Express* 23, 23072-23078 (2015).
- [19] L. Huang, W. Peng, F. Gao*, F. Bo, G. Zhang, and J. Xu, Mutually modulated cross-gain modulation with a considerable modulation wave number-interaction length product, *Opt. Express* 23, 12004-12012(2015).

2014年

- [18] L. Xu, Y. Yin, F. Bo, J. Xu, and G. Zhang*, Anomalous refraction in disordered one-dimensional photonic lattices, *J. Opt. Soc. Am. B* 31, 105-109 (2014).
- [17] Y. Li, H. Liu*, H. Jia, F. Bo, G. Zhang, and J. Xu, Fully vectorial modeling of cylindrical microresonators with aperiodic Fourier modal method, *J. Opt. Soc. Am. A* 31, 2459-2466 (2014).
- [16] Y. Dou, L. Xu, B. Han, F. Bo, J. Xu, and G. Zhang*, Quantum correlation of path-entangled two-photon states in waveguide arrays with defects, *AIP Advances* 4, 047117 (2014).
- [15] F. Bo, S. H. Huang, S. K. Özdemir, G. Zhang, J. Xu, and L. Yang*, Inverted-wedge silica resonators for controlled and stable coupling, *Opt. Lett.* 39, 1841-1844 (2014).

2013年以前

- [14] W. Zhang, L. Huang, F. Gao, F. Bo, G. Zhang, and J. Xu, Tunable broadband light coupler based on two parallel all-fiber acousto-optic tunable filters, *Opt. Express* 21, 16621-16628 (2013).
- [13] W. Zhang, L. Huang, F. Gao, F. Bo, G. Zhang, and J. Xu, All-fiber tunable Mach-Zehnder interferometer based on an acousto-optic tunable filter cascaded with a tapered fiber, *Opt. Commun.* 292, 46-48(2013).
- [12] L. Xu, Y. Yin, F. Bo, J. Xu, and G. Zhang, Transverse localization of light in the disordered one-dimensional waveguide arrays in the linear and nonlinear regimes, *Opt. Commun.* 296, 65-71 (2013).
- [11] W. Zhang, L. Huang, F. Gao, F. Bo, L. Xuan, G. Zhang, and J. Xu, Tunable add/drop channel coupler based on an acousto-optic tunable filter and a tapered fiber, *Opt. Lett.* 37, 1241-1243 (2012).
- [10] W. Zhang, F. Gao, F. Bo, Q. Wu, G. Zhang, and J. Xu, All-fiber acousto-optic tunable notch filter with a fiber winding driven by a cuneal acoustic transducer, *Opt. Lett.* 36, 271-273 (2011).
- [9] F. Xin, G. Zhang, F. Bo, H. Sun, Y. Kong, J. Xu, T. Volk, and N. M. Rubinina, Ultraviolet photorefraction at 325 nm in doped lithium niobate crystals, *J. Appl. Phys.* 107, 033113 (2010).
- [8] F. Bo, Z. Liu, F. Gao, G. Zhang, and J. Xu, Slow and fast light in photorefractive GaAs--AlGaAs multiple quantum wells in transverse geometry, *J. Appl. Phys.* 108, 063101 (2010).
- [7] L. Xu, G. Q. Zhang, N. N. Xu, F. Bo, F. Gao, W. D. Fan, J. J. Xu, K.P. Lor, and K. S. Chiang, Active chromatic control on the group velocity of light at arbitrary wavelength in benzocyclobutene polymer, *Opt. Express* 17, 18292-18303 (2009).
- [6] G. Q. Zhang, F. Bo, F. Gao, R. Dong, Y. F. Tu, and J. J. Xu, Slow and fast lights with moving and stationary refractive index gratings in solids at room temperature, *Int. J. Mod. Phys. B* 22, 447-468 (2008).
- [5] F. Gao, J. Xu, G. Q. Zhang, F. Bo, and H. Liu, Paraxial energy transport of a focused Gaussian beam in ruby with nondegenerate two-wave coupling like mechanism, *Appl. Phys. Lett.* 92 (2008).

- [4] F. Bo, G. Zhang, and J. Xu, Ultraslow Gaussian pulse propagation induced by a dispersive phase coupling in photorefractive bismuth silicon oxide crystals at room temperature, Opt. Commun. 261, 349-352 (2006).
- [3] F. Bo, G. Zhang, and J. Xu, Transition between superluminal and subluminal light propagation in photorefractive Bi₁₂SiO₂₀ crystals, Opt. Express 13, 8198-8203 (2005).
- [2] G. Zhang, R. Dong, F. Bo, and J. Xu, Slowdown of group velocity of light by means of phase coupling in photorefractive two-wave mixing, Appl. Optics. 43, 1167-1173 (2004).
- [1] G. Zhang, F. Bo, R. Dong, and J. Xu, Phase-coupling-induced ultraslow light propagation in solids at room temperature, Phys. Rev. Lett. 93, 133903-133903 (2004)



物理科学学院

天津市卫津路94号 [300071]
南开大学物理学院版权所有
津教备0061号 津ICP备12003308号-1



南开物理



NKPhysics



个人资料

个人概况

研究方向

研究成果

社会兼职

教学经历

荣誉称号



薄方 教授

招生专业：光学

电话：

邮箱：bofang@nankai.edu.cn

办公地点：三教309

社会兼职



1665 访问

中国仪器仪表学会量子传感与精密测量仪器分会，常务理事
Chin. Opt. Lett., 编委
Chin. Phys. Lett.、Chin. Phys. B、物理学报、物理，编委
Sci. Rep., 编委





个人资料

个人概况

研究方向

研究成果

社会兼职

教学经历

荣誉称号



薄方 教授

招生专业：光学

电话：

邮箱：bofang@nankai.edu.cn

办公地点：三教309

教学经历



1665 访问

本科生课程

《光学》，主讲

《大学物理II-2（电磁学、光学和近代物理部分）》，主讲（2008-2019）

《大学物理II-2（波动、热学部分）》，主讲（2019-2020）

《General Physics》，主讲，全英文授课

《大学物理实验（力热部分）》，参与

《光学和光子学前沿讲座》，参与

研究生课程

《微腔光子学》，主讲

教学奖励

2012年，第十一届天津市高校青年教师教学基本功竞赛，一等奖

